

# Corrigé du CNC 2012 : Physique 2

## 1<sup>er</sup> Problème : Champ magnétique et induction

### 1 Partie 1 : Magnétostatique dans le vide

#### 1.1 Équation de MAXWELL

##### 1.1.1 Les équations de MAXWELL :

$$\sqrt{\vec{\nabla} \cdot \vec{E}(M, t) = \frac{\rho(M, t)}{\varepsilon_0}}; \quad \vec{\nabla} \wedge \vec{E}(M, t) = -\frac{\partial \vec{B}(M, t)}{\partial t}; \quad \vec{\nabla} \cdot \vec{B}(M, t) = 0; \quad \vec{\nabla} \wedge \vec{B}(M, t) = \mu_0 \vec{j}(M, t) + \frac{1}{c^2} \frac{\partial \vec{E}(M, t)}{\partial t}$$

##### 1.1.2 Les équations MAXWELL en régime stationnaire :

$$\sqrt{\vec{\nabla} \cdot \vec{E}(M) = \frac{\rho(M)}{\varepsilon_0}}; \quad \vec{\nabla} \wedge \vec{E}(M) = 0; \quad \vec{\nabla} \cdot \vec{B}(M) = 0; \quad \vec{\nabla} \wedge \vec{B}(M) = \mu_0 \vec{j}(M)$$

#### 1.2 Loi de Biot et Savart

##### 1.2.1

✓ Expression de  $\vec{B}$  une distribution volumique :

$$\vec{B}(M) = \frac{\mu_0}{4\pi} \iiint_D \frac{\vec{j}(P) \wedge \overrightarrow{PM}}{PM^3} d\tau(P)$$

✓ Expression de  $\vec{B}$  une distribution linéique :

$$\vec{B}(M) = \frac{\mu_0}{4\pi} \int_D \frac{I \vec{dl}_P \wedge \overrightarrow{PM}}{PM^3}$$

##### 1.2.2 Direction du champ B pour un plan de symétrie P :

✓ Le champ  $\vec{B}$  est  $\perp$  au plan de symétrie :  $\vec{B}(M) \perp (P)$

##### 1.2.3 Direction du champ B pour un plan d'anti-symétrie P :

✓ Le champ  $\vec{B}$  est  $\in$  dans le plan d'anti-symétrie :  $\vec{B}(M) \in (P)$

#### 1.3 Flux du champ magnétique

### 1.3.1 Propriété fondamentale du flux :

✓ Le flux du champ magnétique  $\vec{B}$  est **conservatif**.

✓ Expression intégrale de la conservation du flux :

$$\oint_{\Sigma} \vec{B}(M) \cdot d\vec{S}(M) = 0$$

### 1.3.2

✓ Dédurre une relation de passage :

On applique la conservation du flux à un cylindre de bases  $dS_1$  et  $dS_2$  ( $= dS_1$ ) et de hauteur  $h$  ( $\Sigma = dS_1 \cup dS_{lat} \cup dS_2$ ).

$$\int_{dS_1} \vec{B}_1(M_1) \cdot d\vec{S}_1 + \int_{dS_{lat}} \vec{B}(M) \cdot d\vec{S}(M) + \int_{dS_2} \vec{B}_2(M_2) \cdot d\vec{S}_2 = 0$$

Lorsque  $h \rightarrow 0$ , alors :  $\int_{dS_{lat}} \vec{B}(M) \cdot d\vec{S}(M) \rightarrow 0$  et  $M_1 \equiv M_2 \equiv M$  ;  $-d\vec{S}_1 = d\vec{S}_2 = dS \vec{n}_{12}$ , on trouve :  **$B_{2n} = B_{1n}$**

### 1.3.3

✓ **Non**, il n'y a pas de monopole magnétique.

✓ Les lignes de champ du champ magnétique sont **fermées**.

## 1.4 Circulation du champ magnétique

### 1.4.1 Théorème d'Ampère :

✓ Établissement du théorème d'Ampère :

$\vec{\nabla} \wedge \vec{B}(M) = \mu_0 \vec{j}(M) \Rightarrow \iint_{\Sigma} \vec{\nabla} \wedge \vec{B}(M) \cdot d\vec{S} = \mu_0 \iint_{\Sigma} \vec{j}(M) \cdot d\vec{S} \Rightarrow \oint_{\Gamma} \vec{B}(M) \cdot d\vec{l} = \mu_0 \iint_{\Sigma} \vec{j}(M) \cdot d\vec{S}$  (STOCKES) :

$\Rightarrow$

$$\oint_{\Gamma} \vec{B}(M) \cdot d\vec{l} = \mu_0 \iint_{\Sigma(\Gamma)} \vec{j}(M) \cdot d\vec{S} = \mu_0 I_{enl\Gamma}$$

✓ Cette formule reste valable dans l'ARQS. Mais pas en régime hautement variable.

### 1.4.2

✓ Établissement du seconde relation de passage :

Théorème d'Ampère pour un contour ABCDA ( $AB = CD = dl$  et  $BC = DA = h$ ) :  $\oint_{ABCD} \vec{B}(M) \cdot d\vec{l} = \mu_0 I_{enl}$ .

Lorsque  $h \rightarrow 0$ , alors :  $\int_{BC} \vec{B}(M) \cdot d\vec{l} \rightarrow 0$ ,  $\int_{DA} \vec{B}(M) \cdot d\vec{l} \rightarrow 0$  et  $M_1 \equiv M_2 \equiv M$  ;  $-\vec{AB} = \vec{CD} = dl \vec{t}$  où  $\vec{t}$  est un vecteur unitaire tangent à la surface en M, il vient :

$$B_{2t} - B_{1t} = \mu_0 j_s$$

## 1.5 Champ et potentiel d'un dipôle magnétique

### 1.5.1

✓ Relation entre potentiel-vecteur et le champ magnétique :  $\vec{B} = \text{rot} \vec{A}$

### 1.5.2

✓ Expression du champ  $\vec{B}$  en coordonnées cylindriques :

$$\vec{B} = \frac{\mu_0 \mathcal{M}}{4\pi} \begin{pmatrix} \frac{3rz}{(z^2+r^2)^{\frac{5}{2}}} \\ 0 \\ \frac{2z^2-r^2}{(z^2+r^2)^{\frac{5}{2}}} \end{pmatrix}$$

## 2 Partie 2 : Chute d'un aimant dans un cylindre métallique

### 2.1 Courant induit dans le conducteur

✓ Expression de  $\vec{A}$  dans le conducteur :

$$\vec{A} = \frac{\mu_0 \mathcal{M}}{4\pi} \frac{a}{[a^2 + (z - z_A)^2]^{3/2}} \vec{u}_\theta$$

✓  $Mq \vec{A}$  dépend du temps :

Puisque l'aimant est en chute, alors  $z_A = z_A(t)$  d'où  $\vec{A} = \vec{A}(M, t)$ .

#### 2.1.1

✓ Expression du champ électrique induit  $\vec{E}$  :  $\vec{E}(M, t) = -\frac{\partial \vec{A}(M, t)}{\partial t}$ , soit :

$$\vec{E}(M, t) = -\frac{3\mu_0 \mathcal{M} a}{4\pi} \frac{z - z_A}{[a^2 + (z - z_A)^2]^{\frac{5}{2}}} v \vec{u}_\theta$$

#### 2.1.2

✓ Expression du courant induit  $\vec{j}$  :  $\vec{j} = \sigma \vec{E}$  (Loi d'Ohm), soit :

$$\vec{j} = -v \frac{3\mu_0 \mathcal{M} a \sigma}{4\pi} \frac{z - z_A}{[a^2 + (z - z_A)^2]^{\frac{5}{2}}} v \vec{u}_\theta$$

### 2.2 Force exercée sur l'aimant

#### 2.2.1

✓ Expression de la force élémentaire :  $d^2 \vec{F}$  exercée sur  $dV = ead\theta dz$  :

\* La force de LAPLACE (force magnétique) exercé par l'aimant sur le conducteur est :  $d^2\vec{F}' = \vec{j} dV \wedge \vec{B}$ .

\*D'après le principe de l'action et de la réaction, la force exercée sur l'aimant est :  $d^2\vec{F} = -d^2\vec{F}'$ . Soit :

$$d^2\vec{F} = -\frac{3\mu_0^2\mathcal{M}^2 a \sigma}{(4\pi)^2} dV \begin{vmatrix} -\frac{(2(z-z_A)^2 - a^2)(z-z_A)}{[(z-z_A)^2 + a^2]^5} \\ 0 \\ \frac{3a(z-z_A)^2}{[(z-z_A)^2 + a^2]^5} \end{vmatrix}$$

✓ Expression de  $dF_z$  exercé par un couronne  $dz$  :

$$dF_z = \int_{\theta=0}^{2\pi} d^2\vec{F} \cdot \vec{u}_z = -v \frac{9\mu_0^2\mathcal{M}^2 a^3 \sigma e}{8\pi} \frac{(z-z_A)^2}{[(z-z_A)^2 + a^2]^5} dz$$

### 2.2.2

✓ Détermination de la force de freinage  $\vec{F}$  (selon  $Oz$ ) exercée sur l'aimant : On a  $\vec{F} = F_z \vec{u}_z$ , avec :

$$F_z = -v \frac{9\mu_0^2\mathcal{M}^2 a^3 \sigma e}{8\pi} \int_{z=0}^L \frac{(z-z_A)^2}{[(z-z_A)^2 + a^2]^5} dz = -\alpha v \quad \Rightarrow \quad \boxed{\vec{F} = -\alpha \vec{v}}$$

$$\alpha = \frac{9\mu_0^2\mathcal{M}^2 \sigma e}{8\pi a^4} \int_{-\frac{z_A}{a}}^L \frac{x^2}{(1+x^2)^5} dx$$

✓ La valeur approchée de  $\alpha$  :

On a  $L \gg a$  et si  $z_A \gg a$  alors :  $\alpha \simeq \frac{9\mu_0^2\mathcal{M}^2 \sigma e}{8\pi a^4} \int_{-\infty}^{+\infty} \frac{x^2}{(1+x^2)^5} dx = \frac{9\mu_0^2\mathcal{M}^2 \sigma e}{8\pi a^4} I$

$$\alpha \simeq \frac{9\mu_0^2\mathcal{M}^2 \sigma e}{8\pi a^4} I = \frac{45\mu_0^2\mathcal{M}^2 \sigma e}{1024a^4}$$

### 2.2.3

✓ Application numérique :

$$\alpha = 0,145 \text{ kg.s}^{-1} \simeq 0,15 \text{ kg.s}^{-1}$$

## 2.3 Mouvement de chute de l'aimant

### 2.3.1

✓ Écrire l'équation différentielle du mouvement :

$$\frac{dv}{dt} + \frac{v}{\tau} = g \quad \Leftrightarrow \quad \frac{d^2z}{dt^2} + \frac{1}{\tau} \frac{dz}{dt} = g \quad (\tau = \frac{m}{\alpha})$$

✓ Expression de la vitesse  $v$  :

$$v(t) = \frac{mg}{\alpha} \left(1 - e^{-\frac{t}{\tau}}\right) = \tau g \left(1 - e^{-\frac{t}{\tau}}\right)$$

✓ Expression de la position  $z_A(t)$  :

$$z_A(t) = g\tau^2 \left(e^{-\frac{t}{\tau}} - 1\right) + \tau g t$$

### 2.3.2

✓ Vitesse limite : Lorsque  $t \gg \tau$  on atteint le régime permanent :  $v = v_l = \text{cte}$  (vitesse limite).

✓ Expression de la vitesse limite :

$$v_l = \frac{mg}{\alpha} = g\tau$$

✓ Expression de la constante du temps :

$$\tau = \frac{m}{\alpha}$$

### 2.3.3

✓ Applications numériques :

$$v_l = 0,13 \text{ m.s}^{-1} \quad ; \quad \tau = 13,3 \text{ ms} \quad ; \quad z_A(\tau) = 0,64 \text{ mm}$$

✓ *Commentaire* : le temps caractéristique du régime transitoire  $\tau$  est très faible, on peut négliger la durée de ce régime.

### 2.3.4

✓ Temps total de chute  $T$  de l'aimant : On a  $v(t) \simeq v_l$ , donc :  $T = \frac{L}{v_l} = 11,5 \text{ s}$

✓ Temps de chute libre (dans l'air)  $T'$  :  $T' = \sqrt{\frac{2L}{g}} = 0,55 \text{ s}$

✓ *Commentaire* :  $T' \ll T$ , l'amortissement par induction est plus important l'amortissement par les frottements de l'air.

### 2.3.5

✓ Ce système peut être utilisé comme amortisseur électromagnétique.

2<sup>ème</sup> Problème : Étude d'un moteur thermique

## 1 Partie 1 : Généralités sur les moteurs thermiques

## 1.1

✓ *Impossibilité d'un moteur monotherme :*

Considérons une machine monotherme (i.e. en contact avec une seule source ( $T_0$ )). Alors :

- Premier principe :  $\Delta U_{cycle} = 0 = W + Q \Rightarrow W = -Q$ .
- Deuxième principe :  $\Delta S_{cycle} = 0 = \frac{Q}{T_0} + S^c \Rightarrow Q = -T_0 S^c < 0 \Rightarrow W > 0$  : c'est donc un récepteur (pas moteur).

## 1.2

## 1.2.1

✓ *Sens des transferts thermiques :*

Un moteur :

- reçoit l'énergie thermique de la source chaude ( $Q_1$  est reçue).
- cède l'énergie thermique à la source froide ( $Q_2$  est cédée).

✓ *Signes des énergies thermiques :*

- $Q_1 > 0$  car elle est reçue par le moteur
- $Q_2 < 0$  car elle est cédée par le moteur

## 1.2.2

✓ *Condition du rendement maximale :* les transformations sont **réversibles**.

✓ *Définition du rendement :* Le rendement est défini par :  $\eta = \frac{-W}{Q_1}$

✓ *L'expression de  $\eta_{\max}$  pour le cycle réversible :*  $\eta_{\max} = 1 - \frac{T_2}{T_1}$

## 1.3 Cycle réel

## 1.3.1

✓ *Expression de l'entropie créée  $S_c$  ( $\Delta S_{cycle} = 0$ ) :*  $S_c = -\frac{Q_1}{T_1} - \frac{Q_2}{T_2}$

## 1.3.2

✓ *L'expression du rendement  $\eta'$  pour le cycle réel :*  $\eta' = 1 - \frac{T_2}{T_1} - \frac{T_2}{Q_1} S_c$

✓ *Commentaire :* Puisque  $S_c > 0$  et  $Q_1 > 0$ , le rendement du cycle réel est inférieur à celui du cycle réversible ( $\eta' < \eta_{\max}$ ).

## 2 Partie 2 : Moteur à combustion interne

### 2.1 Cycle réversible

#### 2.1.1

✓ Calcul du nombre de moles initiales  $n_A$  :  $n_A = \frac{P_A V_A}{R T_A} = 0,02 \text{ mol.L}^{-1}$  (GP)

#### 2.1.2

✓ Relation entre  $T_A$  et  $T_B$  : La transformation "A→Bs" est ad. rév.  $\Rightarrow T_A V_A^{\gamma-1} = T_{Bs} V_B^{\gamma-1}$  ( $V_B = V_{Bs}$ ).

✓ Expression de  $T_{Bs}$  :  $T_{Bs} = T_A r^{\gamma-1}$  ( $r = \frac{V_A}{V_B}$ )

#### 2.1.3

✓ Valeur de  $r_{\max}$  pour éviter l'autoallumage (ie :  $T_{Bs} < T' = 603 \text{ K}$ ) :  $r < \left(\frac{T'}{T_A}\right)^{\frac{1}{\gamma-1}} = r_{\max} = 5,7$

### 2.2 Cycle réel :

#### 2.2.1

✓ Montrer l'égalité ? :

Les transformations A→Bs et C→Ds sont **adiabatiques réversibles** donc :

$$T_A V_A^{\gamma-1} = T_{Bs} V_{Bs}^{\gamma-1} \quad \text{et} \quad T_C V_C^{\gamma-1} = T_{Ds} V_{Ds}^{\gamma-1}$$

puisque :  $V_C = V_B = V_{Bs}$  et  $V_A = V_D = V_{Ds}$ , en multipliant les deux équations on trouve :  $T_A T_C = T_{Bs} T_{Ds}$

#### 2.2.2

✓ Montrer l'expression de  $T_B$  :

On a :

$$\eta_c = \frac{T_{Bs} - T_A}{T_B - T_A} \Rightarrow T_B = T_A + \frac{T_{Bs} - T_A}{\eta_c} ; (T_{Bs} = T_A r^{\gamma-1}) \Rightarrow T_B = T_A \left[ 1 + \frac{1}{\eta_c} (r^{\gamma-1} - 1) \right]$$

#### 2.2.3

##### 2.2.3.1

✓ Expression de  $Q_{BC}$  de la transformation isochore B→C :

Loi de Joule + 1er principe  $\Rightarrow n_A C_v (T_C - T_B) = \Delta U = Q_{BC}$  ; ( $W_e = 0$ )  $\Rightarrow Q_{BC} = n_A C_v (T_C - T_B)$

### 2.2.3.2

✓ Montrer l'expression de  $T_C$  :

Les fuites thermiques sont négligeables ( $Q_e = 0$ ) donc :  $Q_{BC} = \underbrace{Q_e}_{=0} + n\mathcal{P}_{cal}$ , d'où :  $T_C = T_B + \frac{n\mathcal{P}_{cal}}{n_A C_v}$

### 2.2.4

✓ Montrer l'expression de  $T_D$  :

On a :  $\eta_d = \frac{T_D - T_C}{T_{Ds} - T_C} \Rightarrow T_D = T_C + \eta_d T_{Ds} - \eta_d T_C$  ; avec  $T_{Ds} = T_C T_A / T_{Bs} = T_C / r^{\gamma-1}$  (d'après 2.1.2 et 2.2.1).  
d'où :

$$T_D = T_C \left[ 1 + \eta_d \left( \frac{1}{r^{\gamma-1}} - 1 \right) \right]$$

### 2.2.5 Application numérique :

On a :  $T_A = 300$  K ;  $\gamma = 1,4$  ;  $C_v = \frac{R}{\gamma-1} = 20,7$  J/mol/K ;  $\eta_c = \eta_d = 0,95$  et  $r = 5$ . D'où :

$$T_B = 585 \text{ K} \quad ; \quad T_C = 1425 \text{ K} \quad ; \quad T_D = 782 \text{ K}$$

### 2.2.6

✓ Calcul de la pression  $P_C$  : On a un GP, donc :  $P_C = n_A R T_C / V_C = \frac{n_A R}{V_A} r T_C$  ; ( $V_C = V_A / r$ )  $\Rightarrow P_C = 23,7$  bar

✓  $P_C < 50$  bar : la contrainte est bien respectée.

## 2.3 Effet des frottements :

### 2.3.1

✓ Expression de la puissance instantanée des frottements :  $p(t) = \vec{f} \cdot \vec{v} = -\mu v^2$

### 2.3.2

✓ Expression de la vitesse moyenne :  $v_m = 4NL$  (Le cylindre parcourt la distance  $4L$  par cycle)

### 2.3.3

✓ Expression de la puissance moyenne  $\mathcal{P}_f$  des frottements :  $\mathcal{P}_f = -16\mu(NL)^2$

## 2.4 Puissance mécanique utile



### 2.4.1

#### 2.4.1.1

✓ Expression de  $Q_{DA}$  de la transformation isochore  $D \rightarrow A$  :

Loi de Joule + 1er principe  $\Rightarrow n_A C_v (T_A - T_D) = \Delta U = Q_{DA}$  ; ( $W_e = 0$ )  $\Rightarrow \boxed{Q_{DA} = n_A C_v (T_A - T_D)}$

### 2.4.2

✓ Expression du travail total  $W$  échangé par le fluide au cours d'un cycle :

Le 1er principe :  $\Delta U_{cycle} = 0 = W + Q_{BC} + Q_{DA}$  d'où :  $\boxed{W = -n_A C_v (T_C - T_B + T_A - T_D)}$

### 2.4.3

✓ Montrer l'expression de la puissance mécanique  $\mathcal{P}_m$  du moteur :

La puissance mécanique du moteur = La puissance reçue du fluide ( $-NW$ ) + la puissance perdue par les frottements, pendant  $N$  cycles  $\Rightarrow$

$$\mathcal{P}_m = -NW + \mathcal{P}_f \Rightarrow \boxed{\mathcal{P}_m = N n_A C_v (T_C - T_B + T_A - T_D) - 16\mu (NL)^2}$$

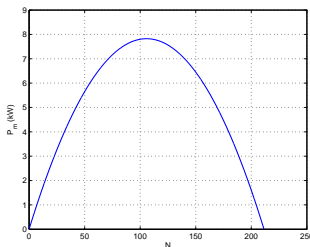
### 2.4.4

✓ Définition du rendement thermique  $\eta$  :  $\boxed{\eta = \frac{\mathcal{P}_m}{NQ_{BC}}}$

✓ Expression de  $\eta$  :  $\boxed{\eta = 1 + \frac{T_A - T_D}{T_C - T_B} - 16N \frac{\mu L^2}{n_A C_v (T_C - T_B)}}$

## 2.5 Effet de N

### 2.5.1 Allure de $\mathcal{P}_m = 148N - 0.7N^2$



### 2.5.2

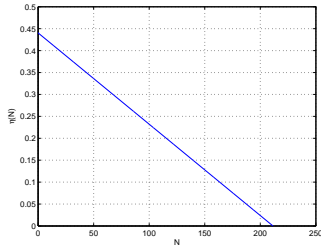
✓ Expression de  $N_{\max} = N_M$  :  $\frac{d\mathcal{P}_m}{dN} = 0 \Rightarrow \boxed{N_M = \frac{n_A C_v (T_C - T_B + T_A - T_D)}{32\mu L^2}}$

✓ Application numériques :

$$N_M = 105 \quad ; \quad \mathcal{P}_m = 7,8 \text{ kW}$$

### 2.5.3

✓ Allure de  $\eta(N) = 0.44 - 2.10^{-3}N$  :



✓ Valeur numérique de  $\eta(N_M)$  :  $\eta(N_M) = 0,23$

✓ *Commentaire* : Le rendement est faible alors que la puissance développée est maximale.